

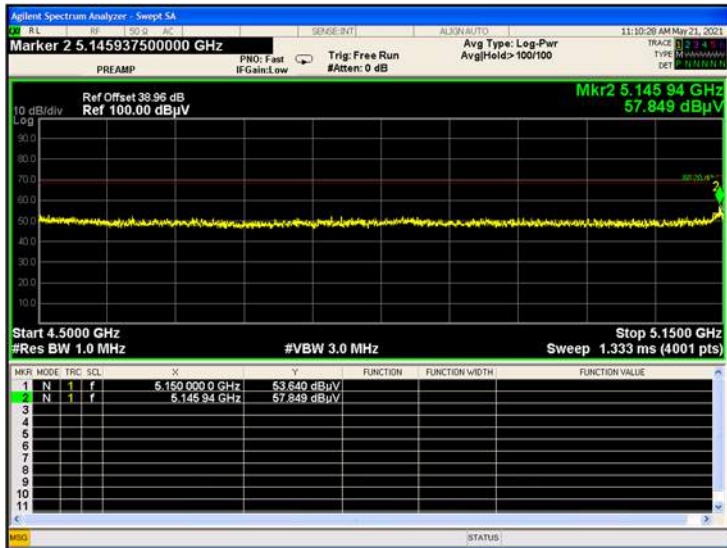
U-NII-1 11ac40 CH38 AV



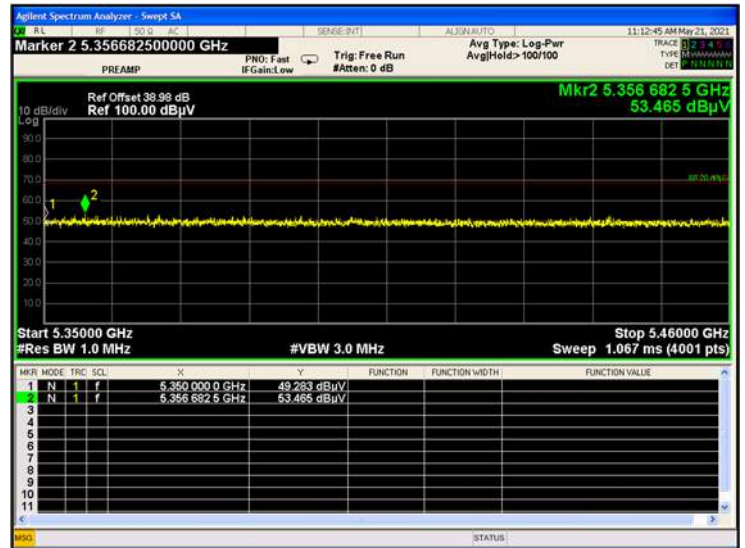
U-NII-1 11ac40 CH38 AV



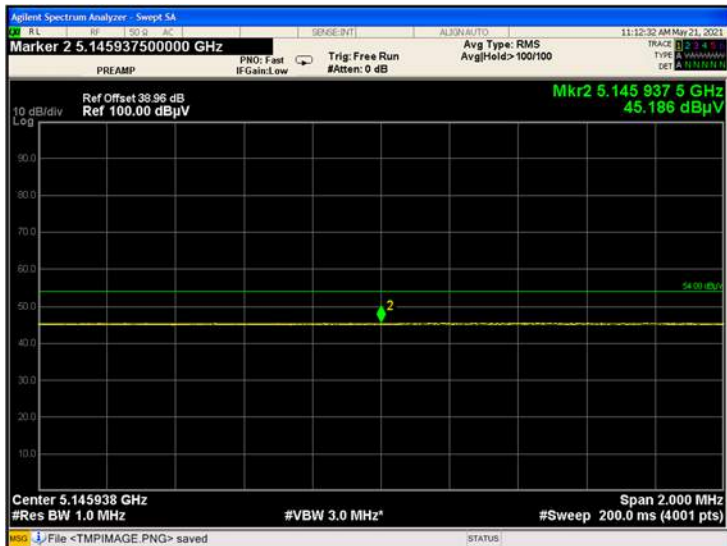
U-NII-1 11ac80 CH42 Peak



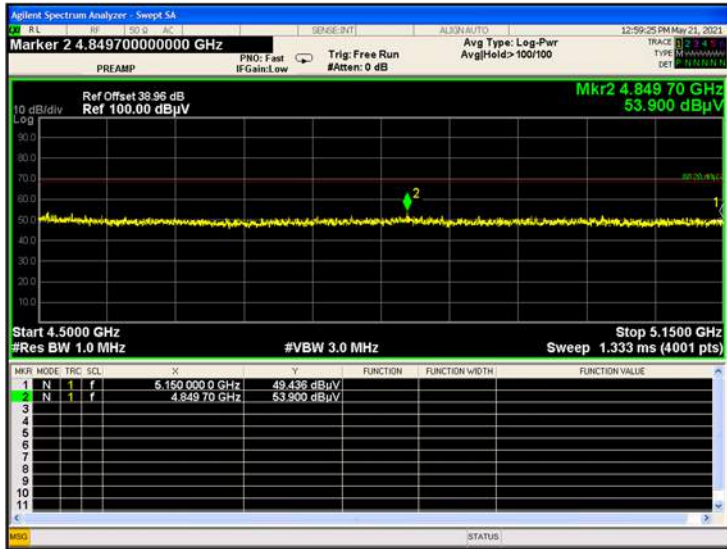
U-NII-1 11ac80 CH42 Peak



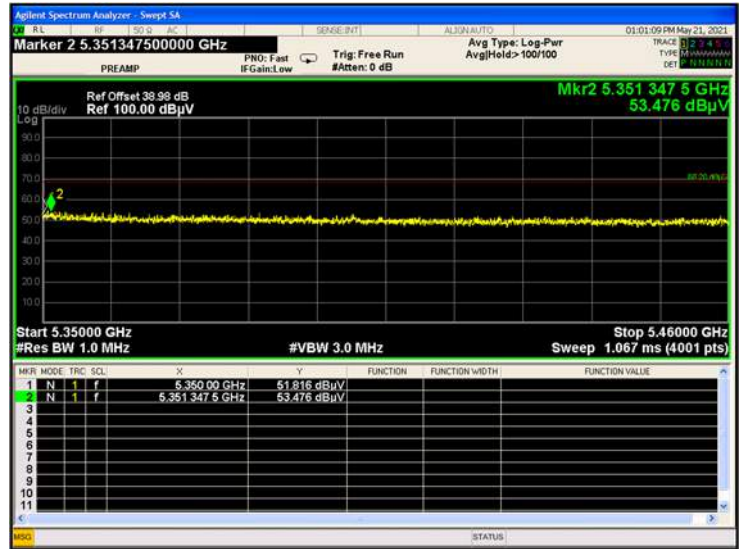
U-NII-1 11ac80 CH42 AV



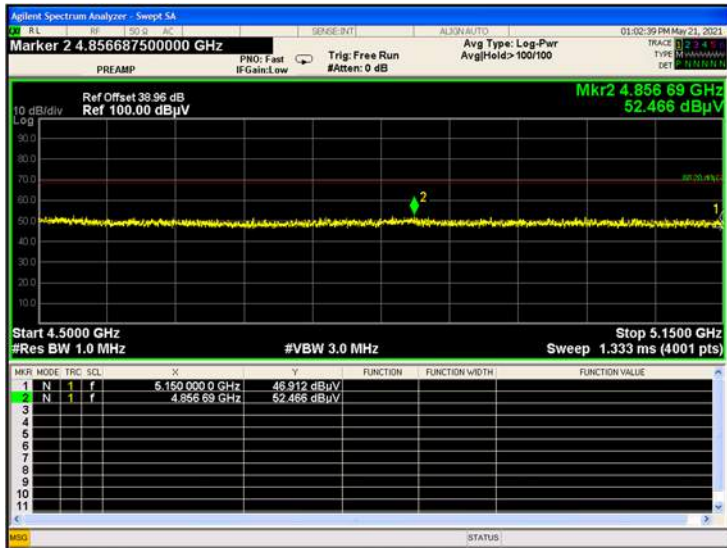
U-NII-2A 11a CH52 Peak



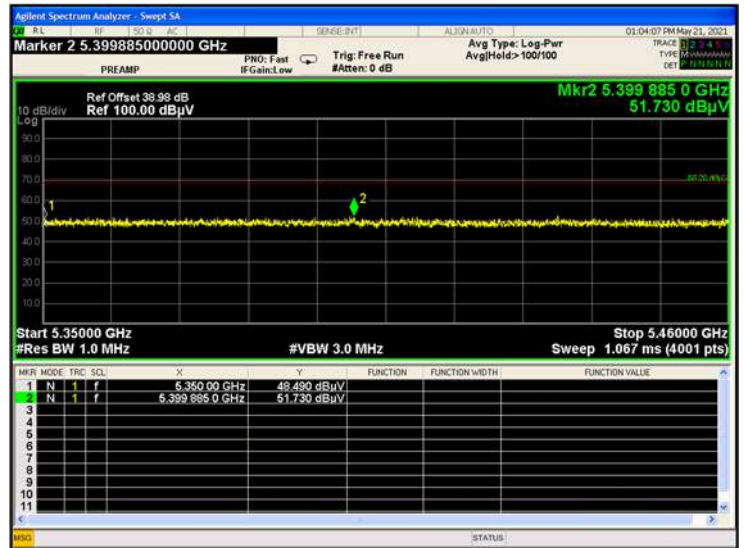
U-NII-2A 11a CH64 Peak



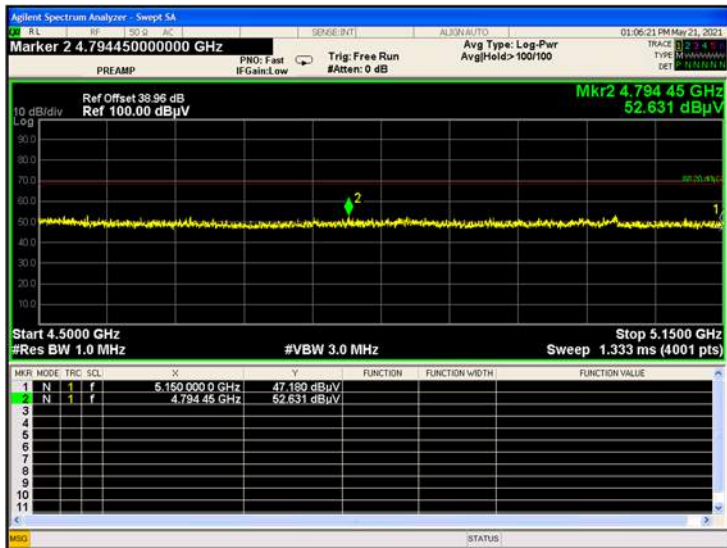
U-NII-2A 11n20 CH52 Peak



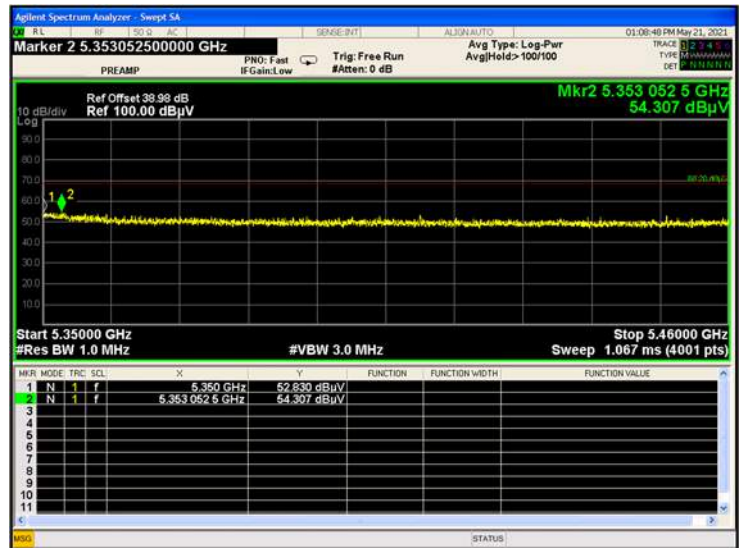
U-NII-2A 11n20 CH64 Peak



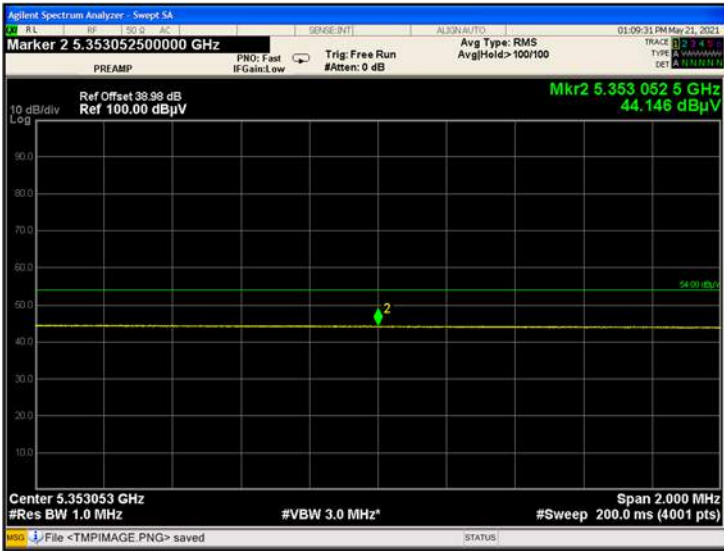
U-NII-2A 11n40 CH54 Peak



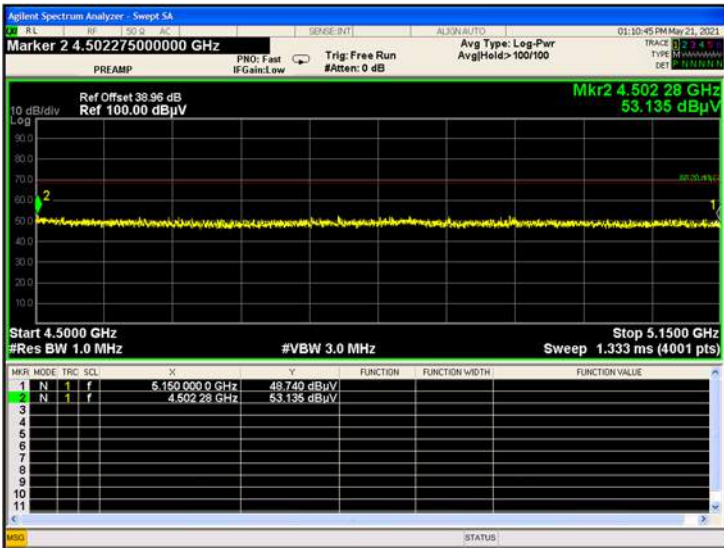
U-NII-2A 11n40 CH62 Peak



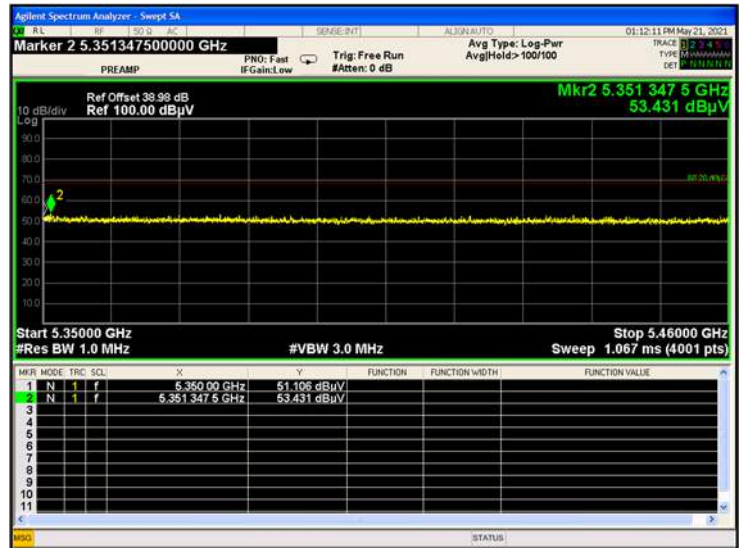
U-NII-2A 11n40 CH62 AV



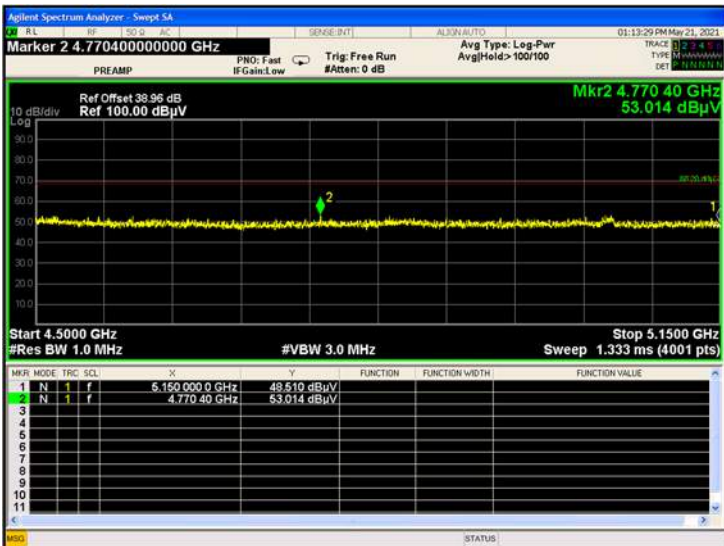
U-NII-2A 11ac20 CH52 Peak



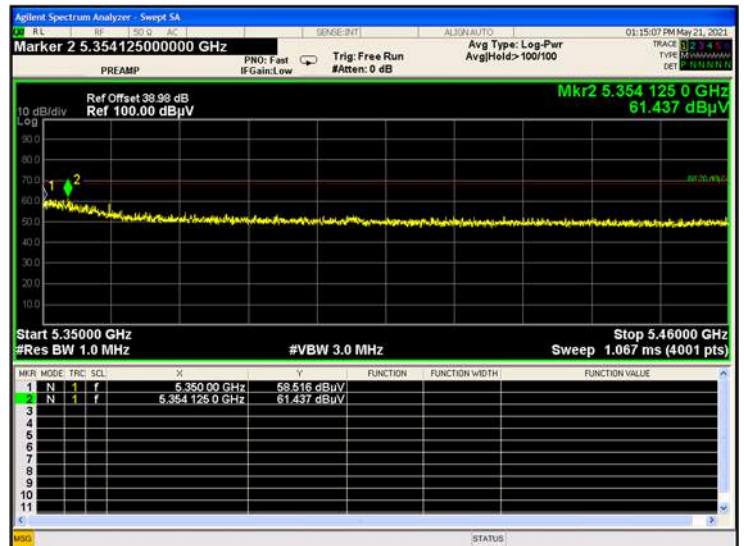
U-NII-2A 11ac20 CH64 Peak



U-NII-2A 11ac40 CH54 Peak



U-NII-2A 11ac40 CH62 Peak



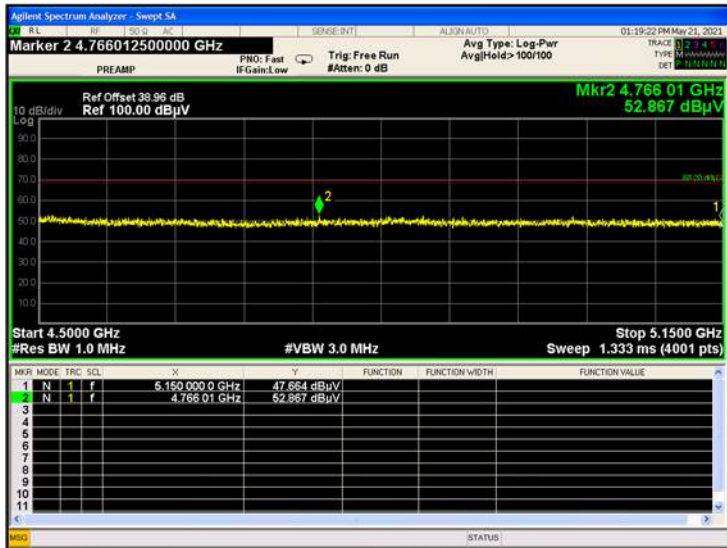
U-NII-2A 11ac40 CH62 AV



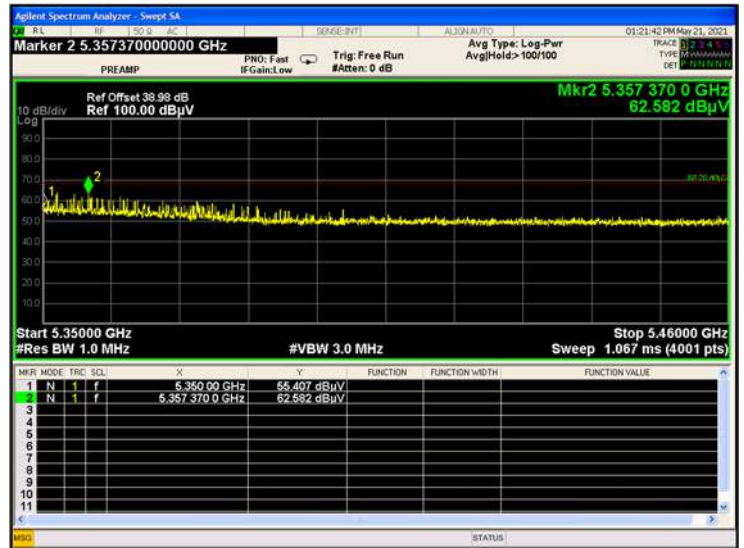
U-NII-2A 11ac40 CH62 AV



U-NII-2A 11ac80 CH58 Peak



U-NII-2A 11ac80 CH58 Peak



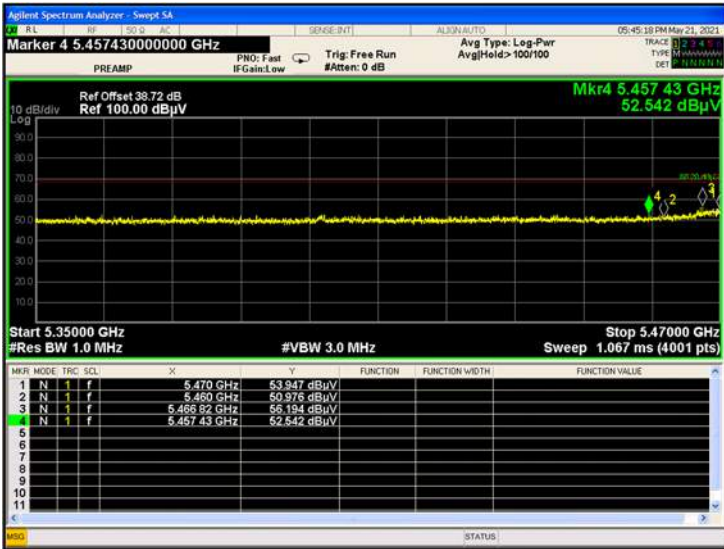
U-NII-2A 11ac80 CH58 AV



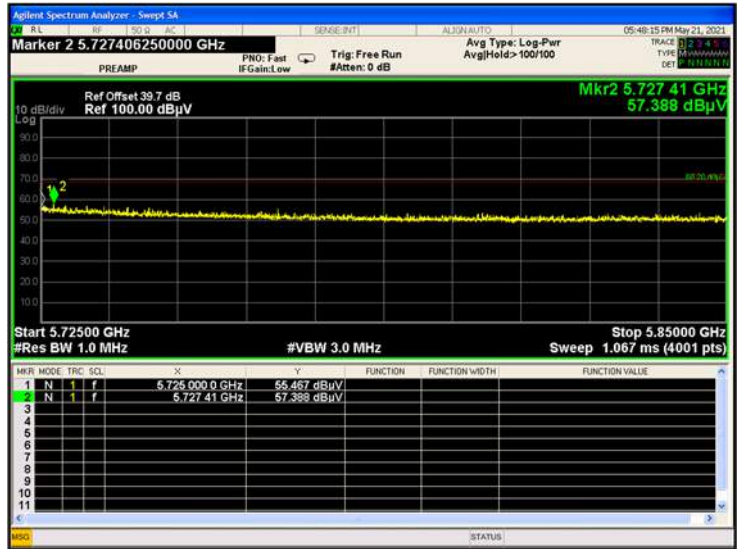
U-NII-2A 11ac80 CH58 AV



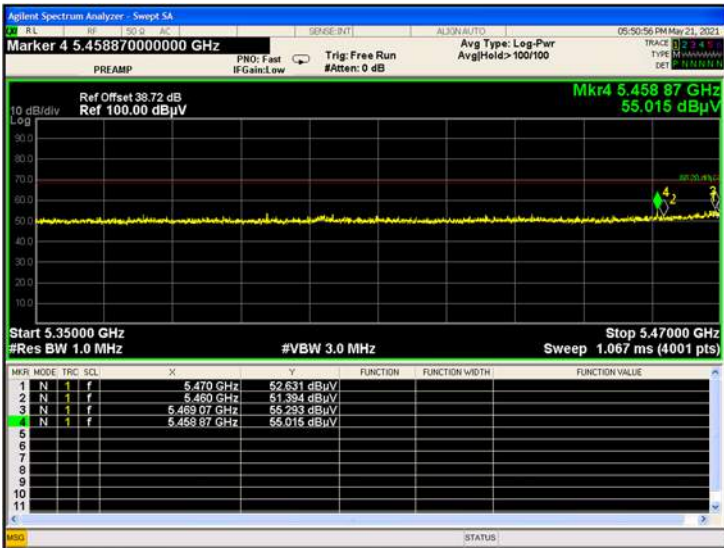
U-NII-2C 11a CH100 Peak



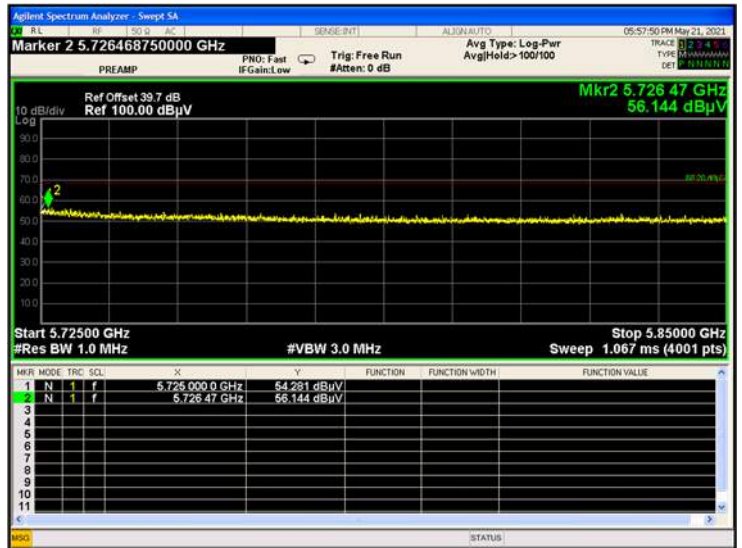
U-NII-2C 11a CH140 Peak



U-NII-2C 11n20 CH100 Peak



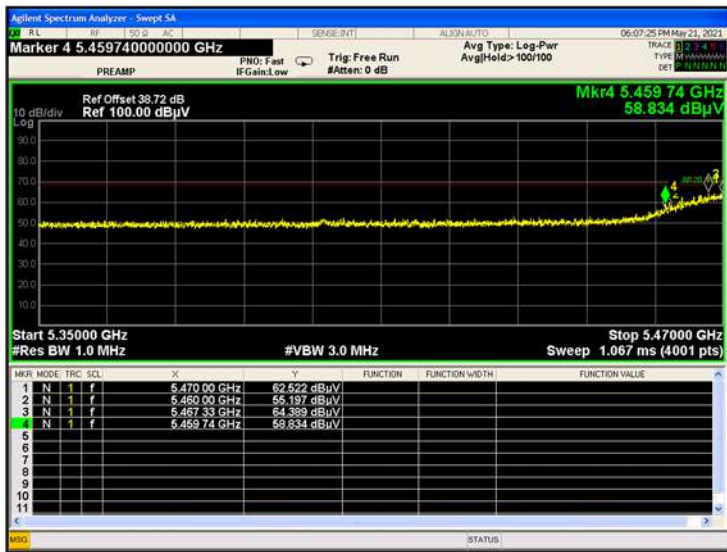
U-NII-2C 11n20 CH140 Peak



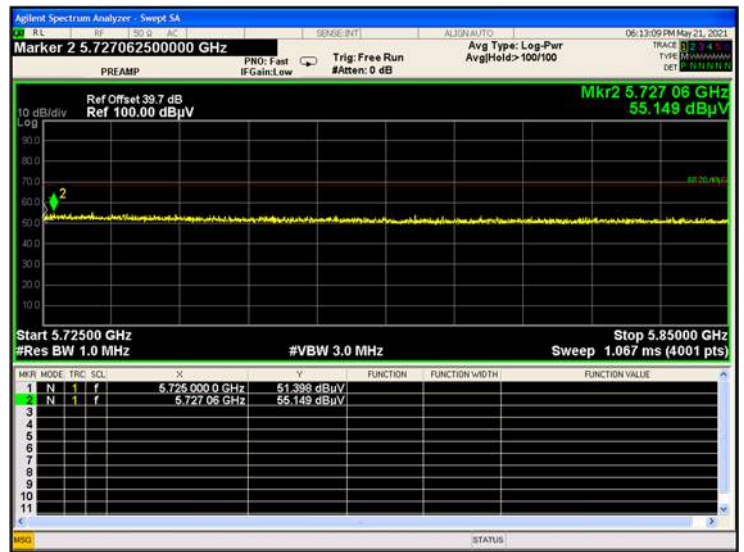
U-NII-2C 11n20 CH100 AV



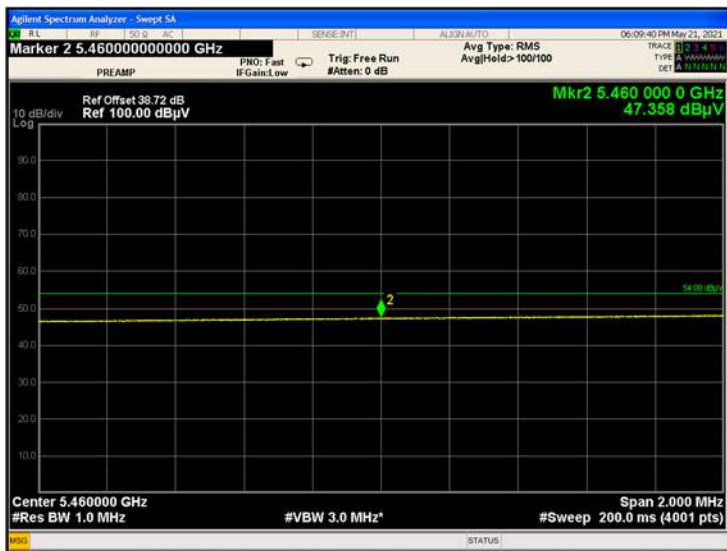
U-NII-2C 11n40 CH102 Peak



U-NII-2C 11n40 CH134 Peak



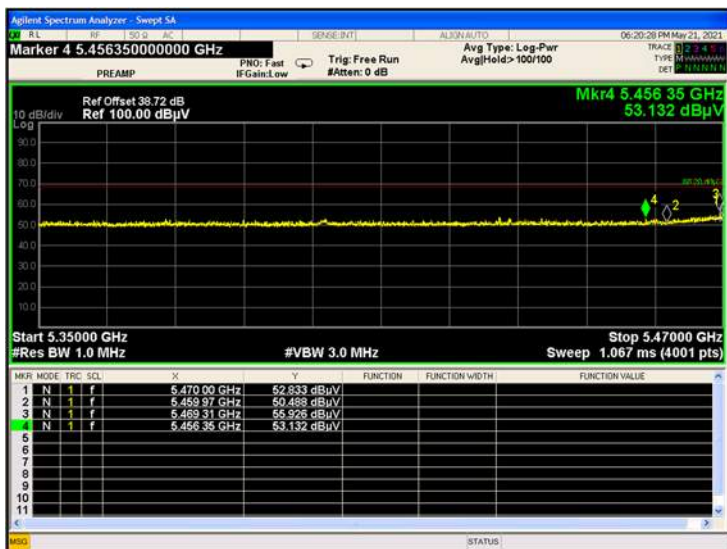
U-NII-2C 11n40 CH102 AV



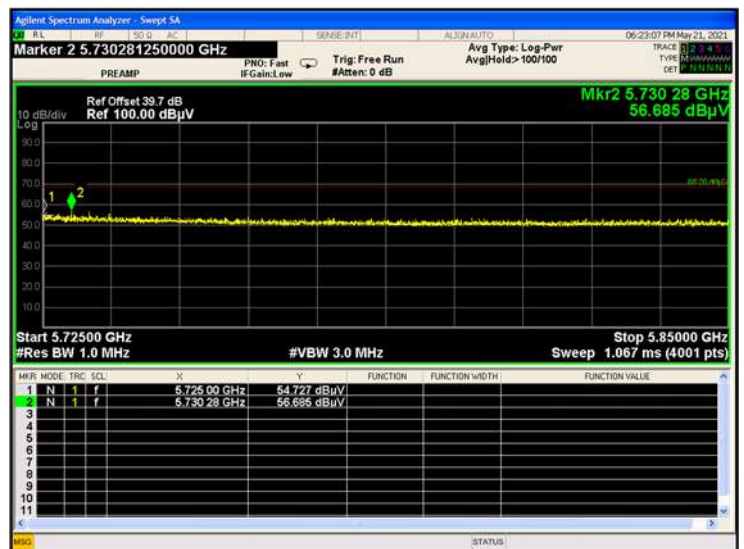
U-NII-2C 11n40 CH102 AV



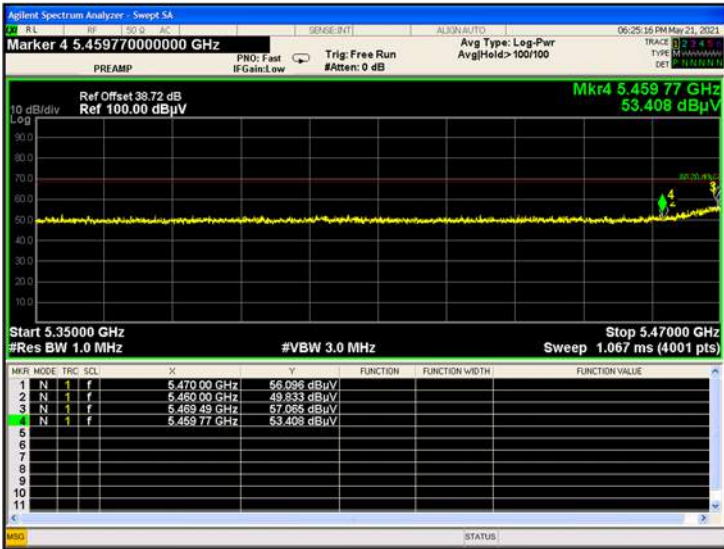
U-NII-2C 11ac20 CH100 Peak



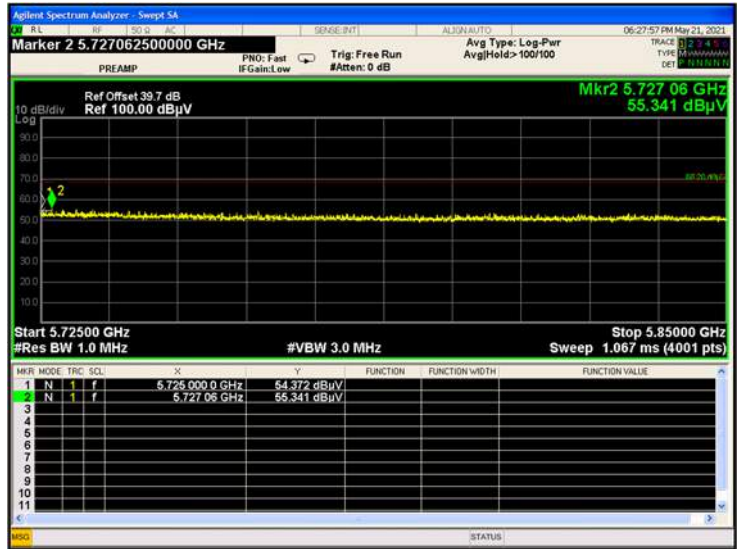
U-NII-2C 11ac20 CH140 Peak



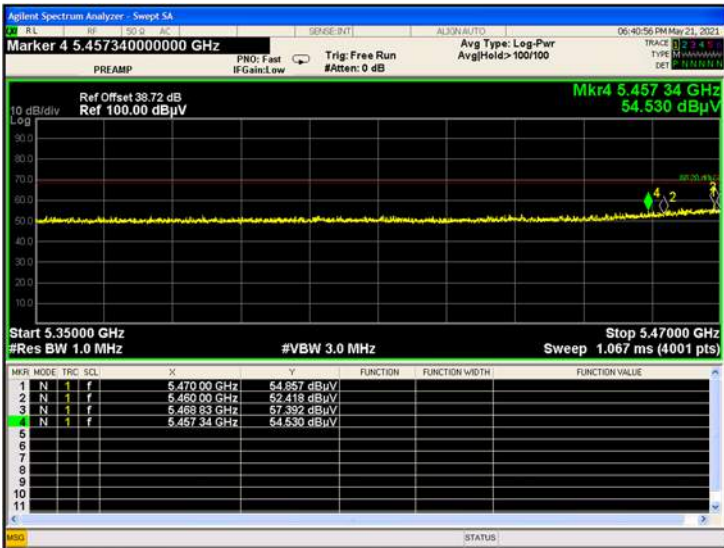
U-NII-2C 11ac40 CH102 Peak



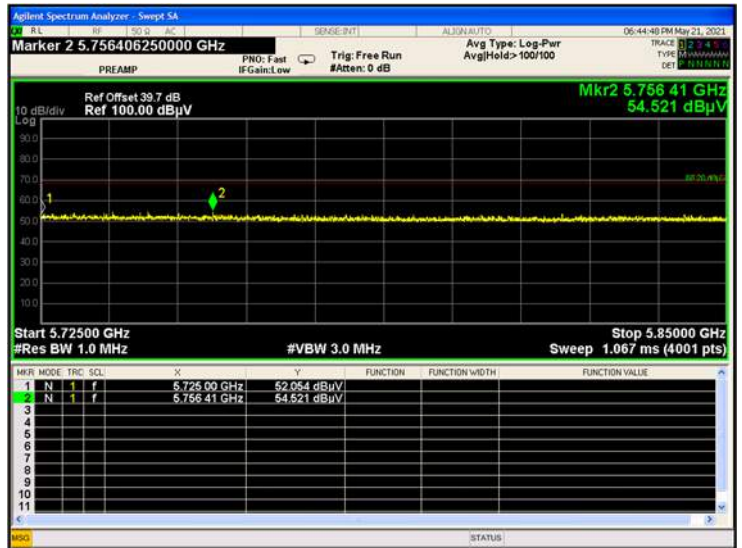
U-NII-2C 11ac40 CH134 Peak



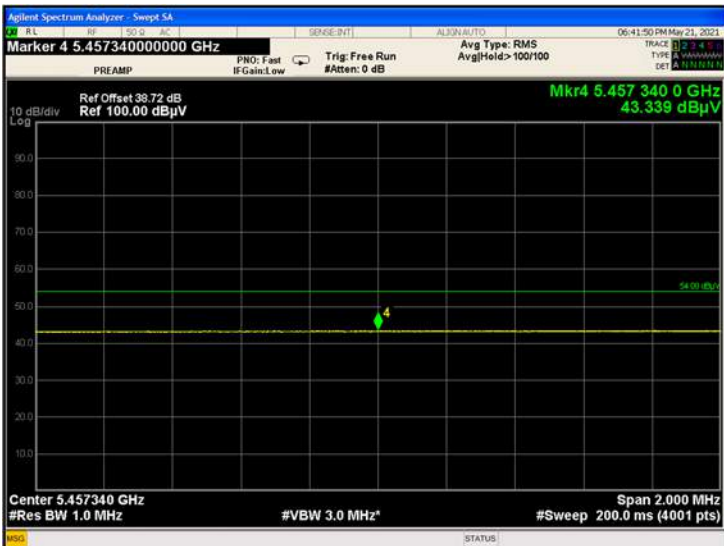
U-NII-2C 11ac80 CH106 Peak



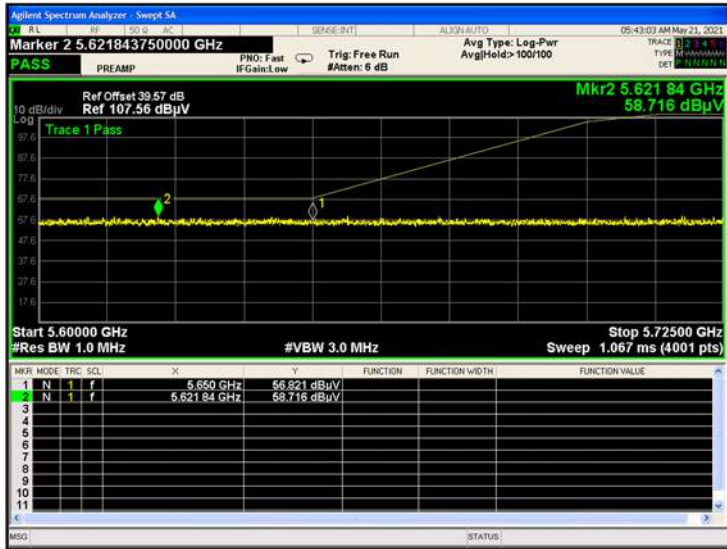
U-NII-2C 11ac80 CH122 Peak



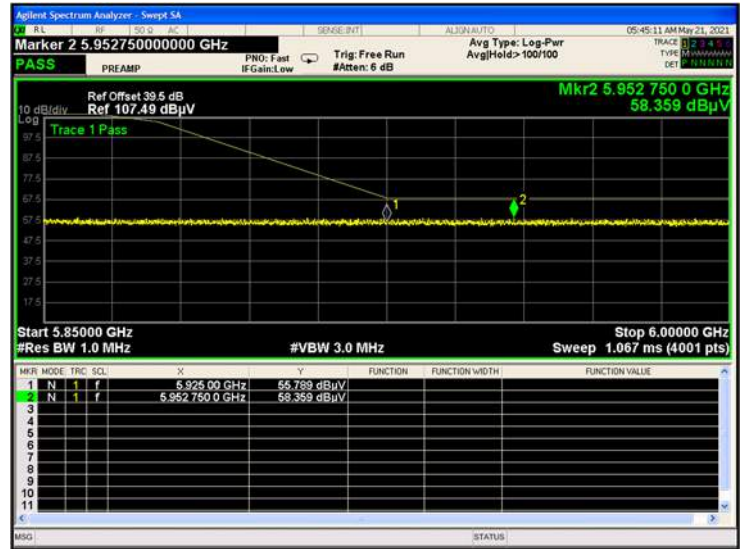
U-NII-2C 11ac80 CH106 AV



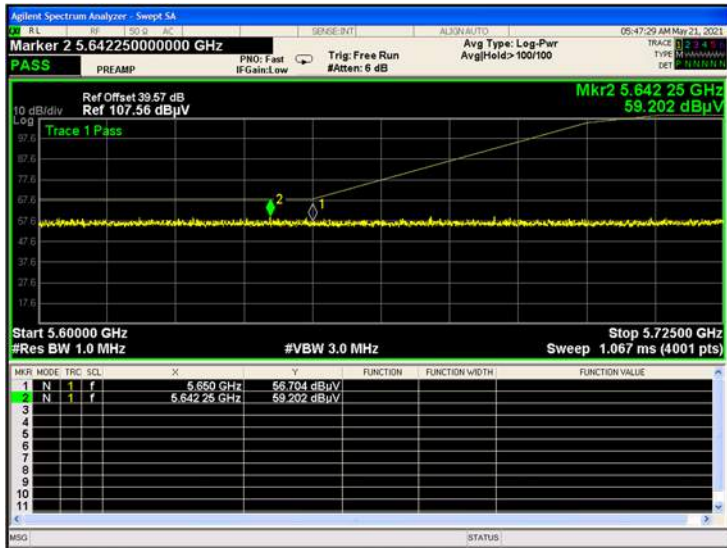
U-NII-3 11a CH149 Peak



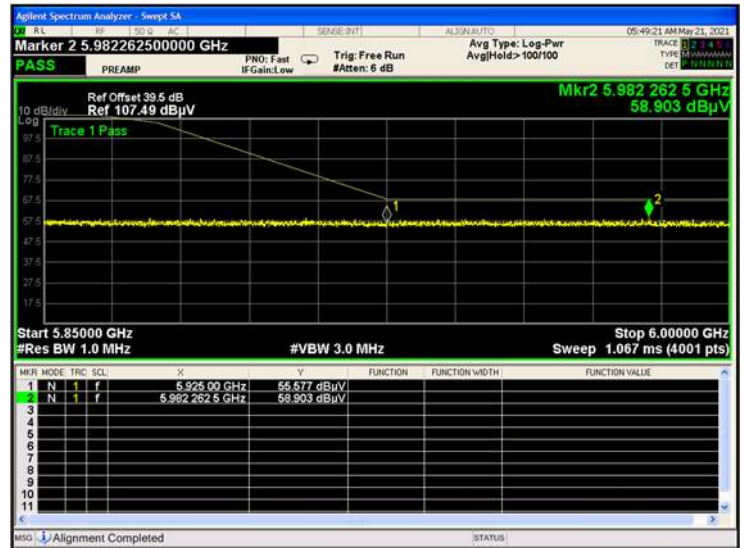
U-NII-3 11a CH165 Peak



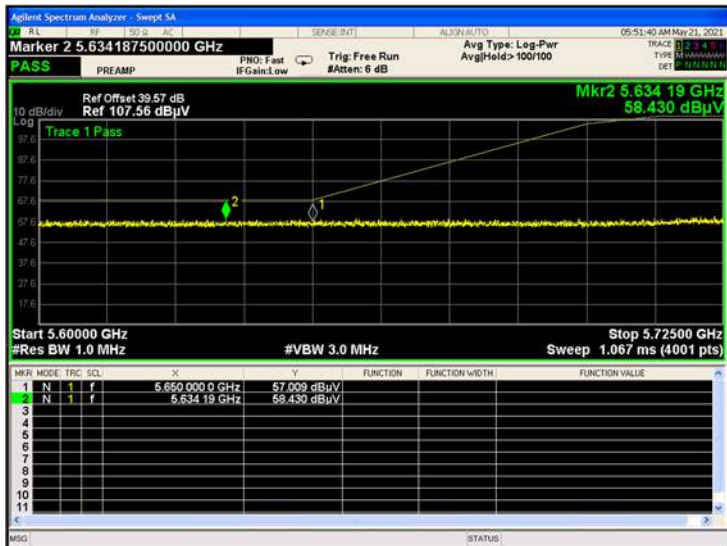
U-NII-3 11n20 CH149 Peak



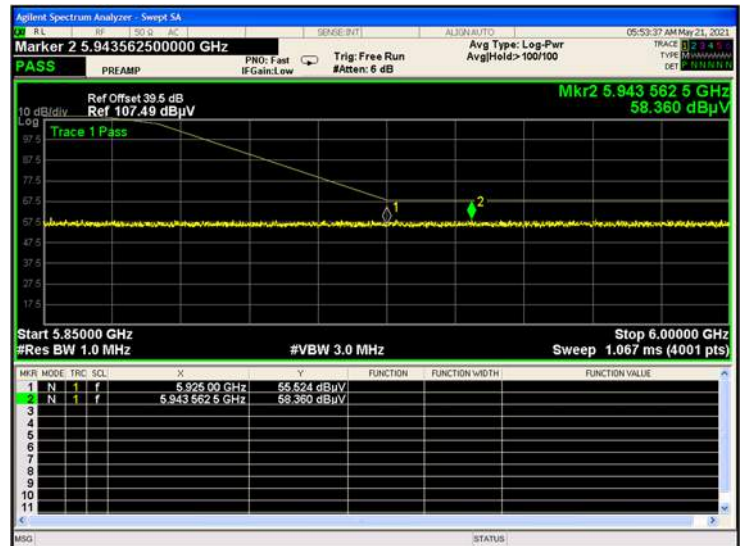
U-NII-3 11n20 CH165 Peak



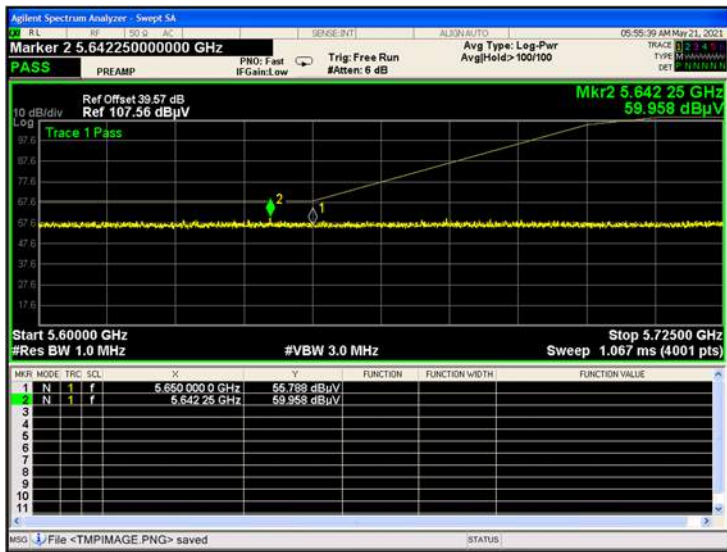
U-NII-3 11n40 CH151 Peak



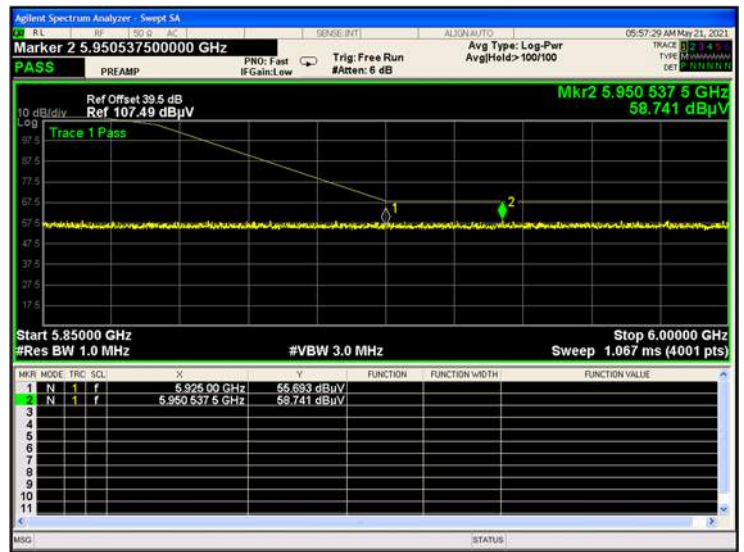
U-NII-3 11n40 CH159 Peak



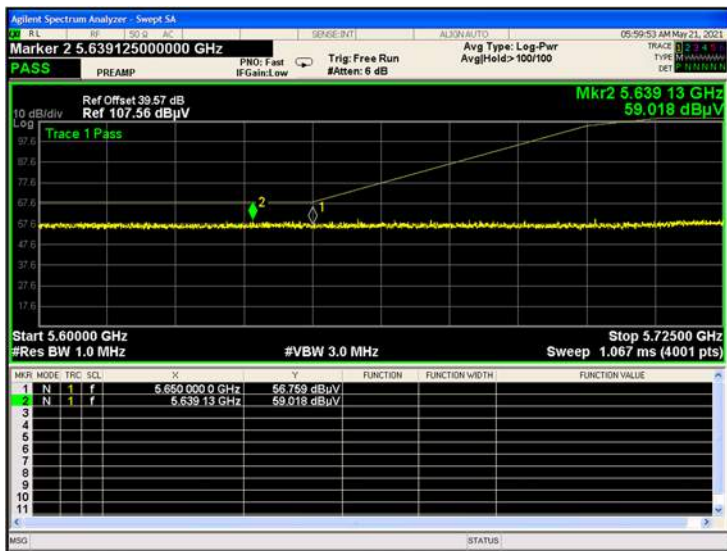
U-NII-3 11ac20 CH149 Peak



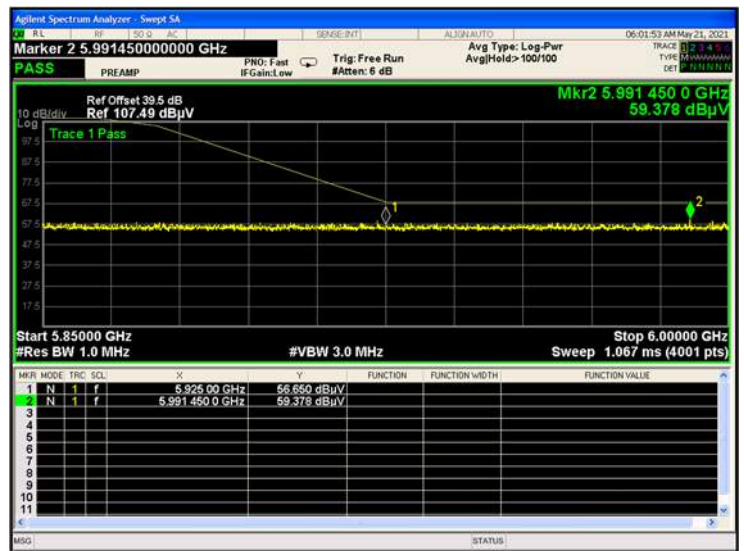
U-NII-3 11ac20 CH165 Peak



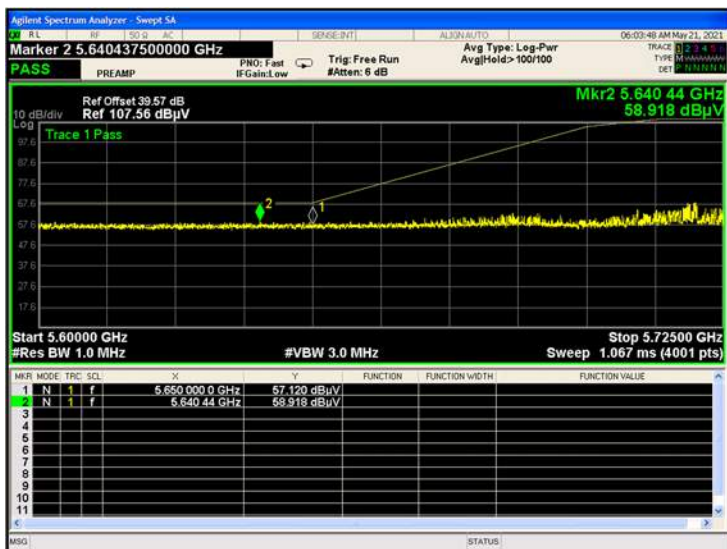
U-NII-3 11ac40 CH151 Peak



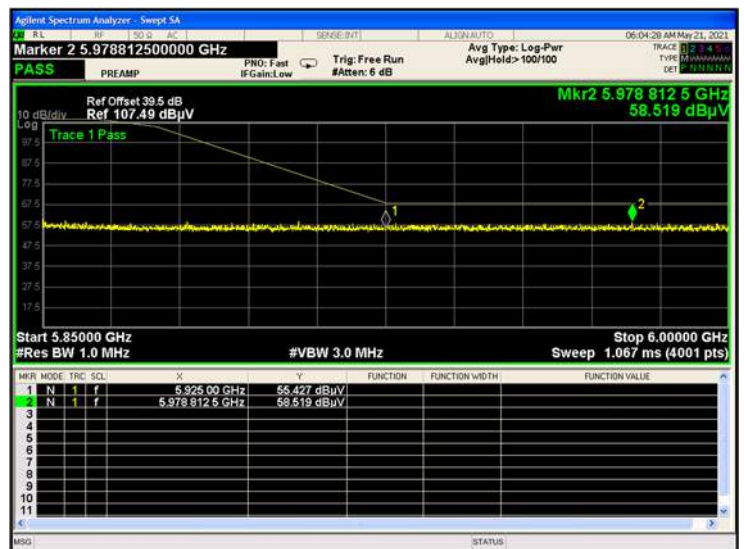
U-NII-3 11ac40 CH159 Peak



U-NII-3 11ac80 CH155 Peak

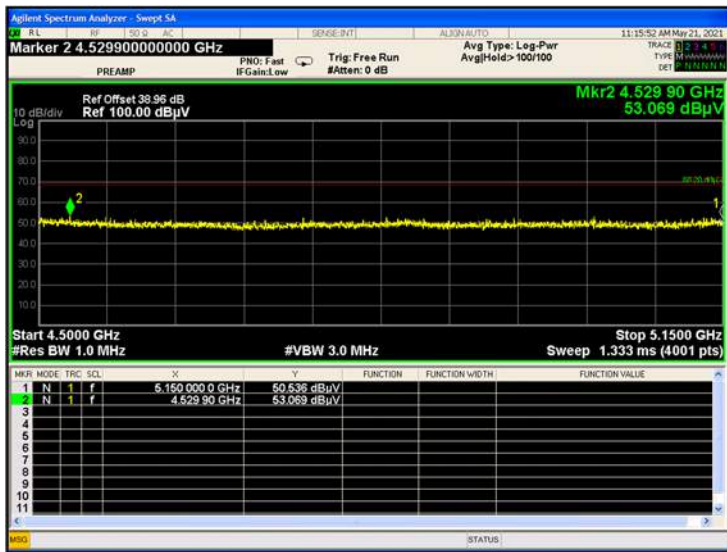


U-NII-3 11ac80 CH155 Peak

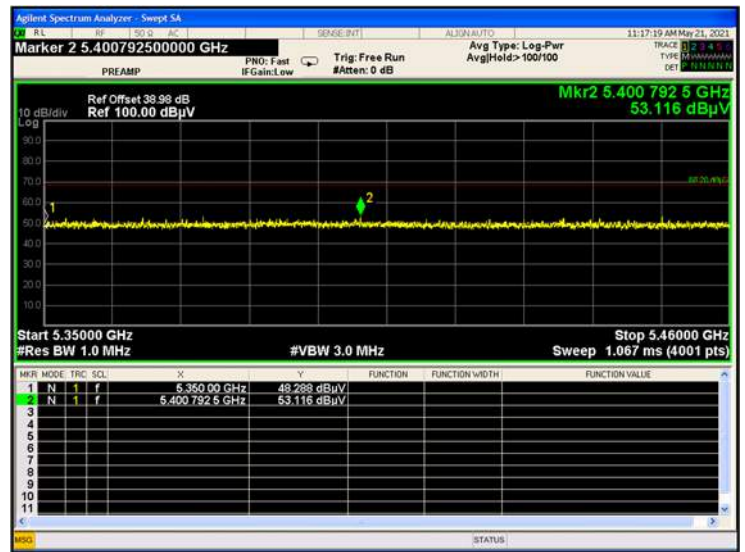


MIMO

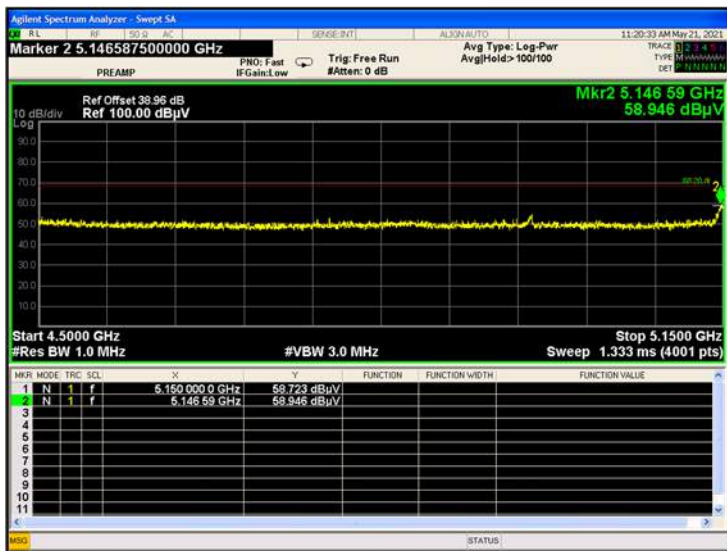
U-NII-1 11n20 CH36 Peak



U-NII-1 11n20 CH48 Peak



U-NII-1 11n40 CH38 Peak



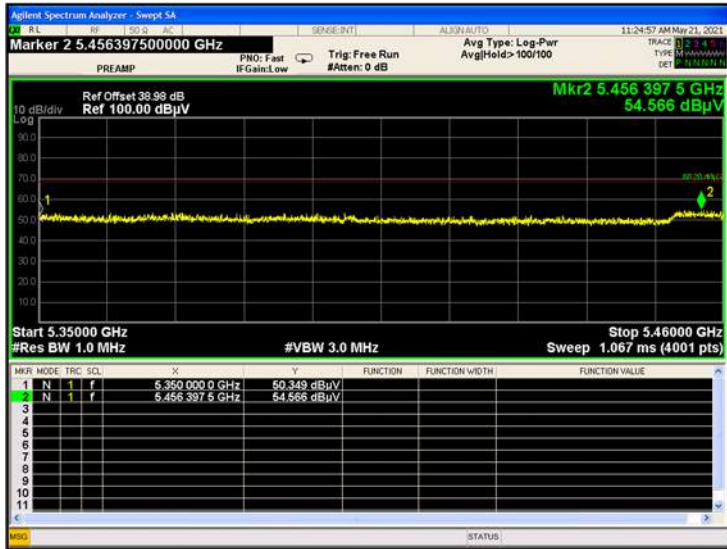
U-NII-1 11n40 CH38 AV



U-NII-1 11n40 CH38 AV



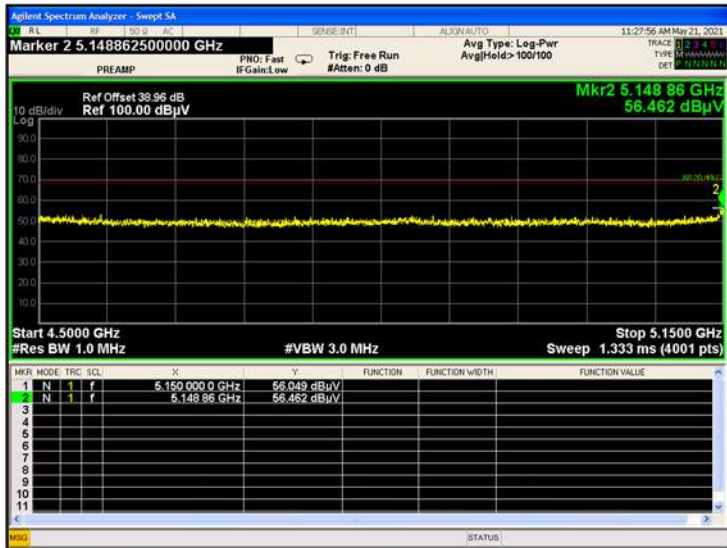
U-NII-1 11n40 CH46 Peak



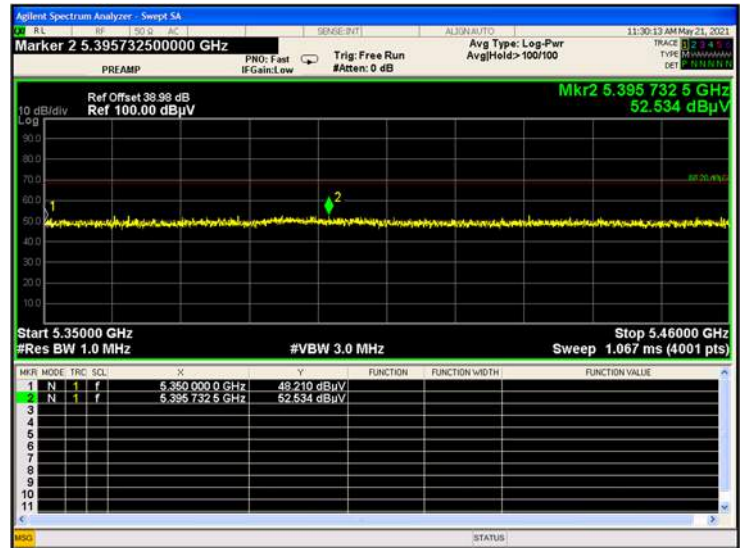
U-NII-1 11n40 CH46 AV



U-NII-1 11ac20 CH36 Peak



U-NII-1 11ac20 CH48 Peak



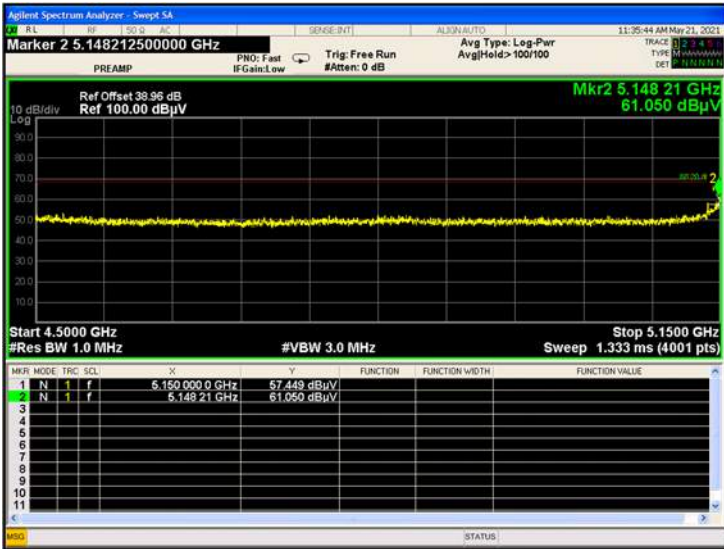
U-NII-1 11ac20 CH36 AV



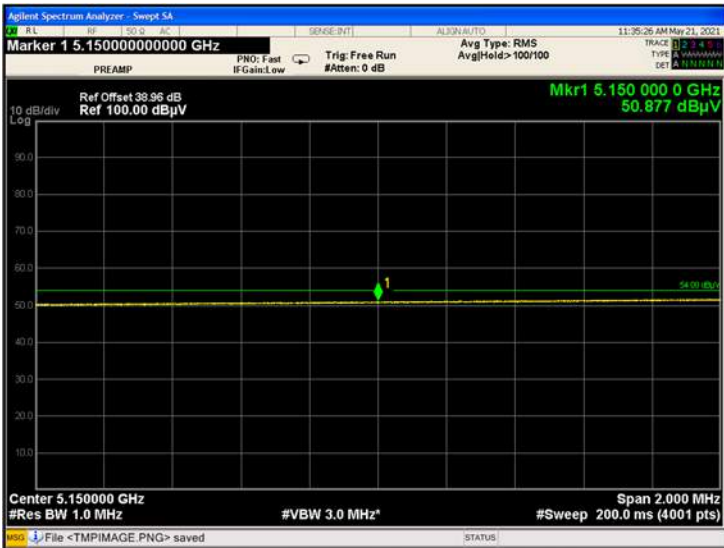
U-NII-1 11ac20 CH36 AV



U-NII-1 11ac40 CH38 Peak



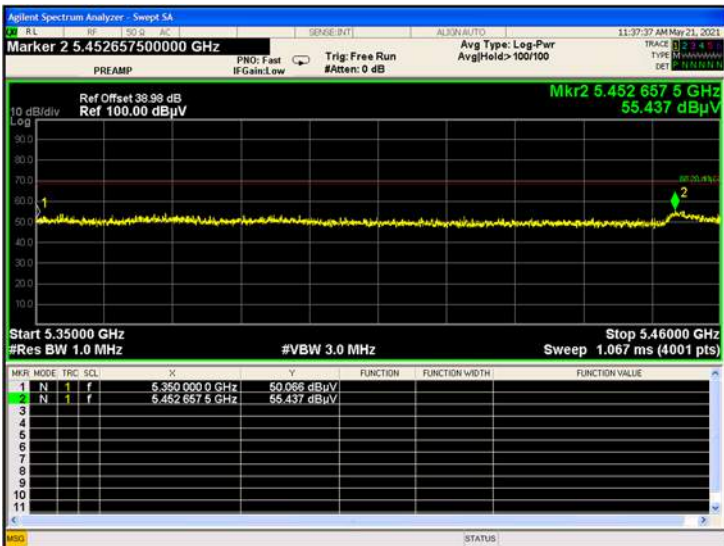
U-NII-1 11ac40 CH38 AV



U-NII-1 11ac40 CH38 AV



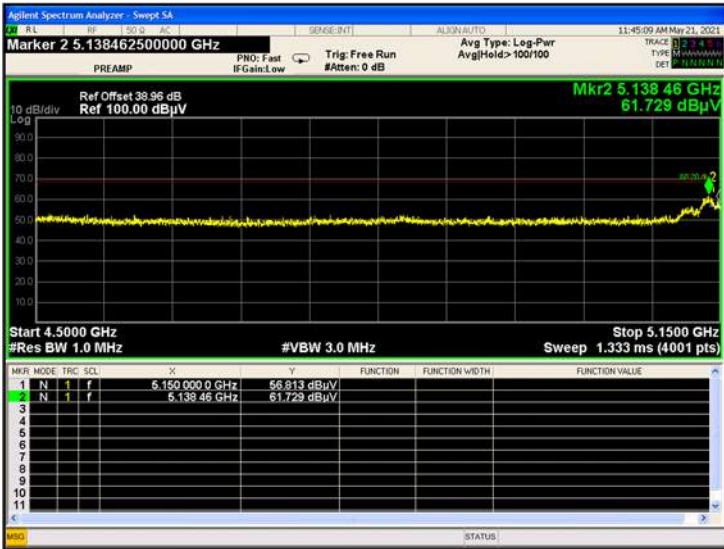
U-NII-1 11ac40 CH46 Peak



U-NII-1 11ac40 CH46 AV



U-NII-1 11ac80 CH42 Peak



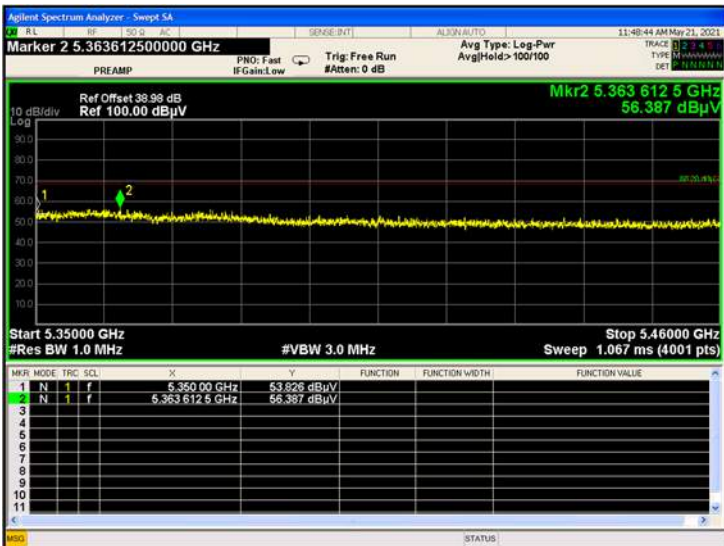
U-NII-1 11ac80 CH42 AV



U-NII-1 11ac80 CH42 AV



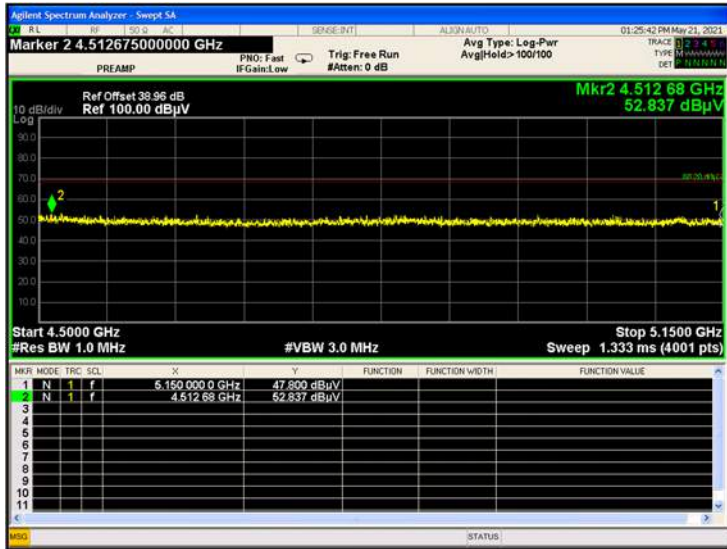
U-NII-1 11ac80 CH42 Peak



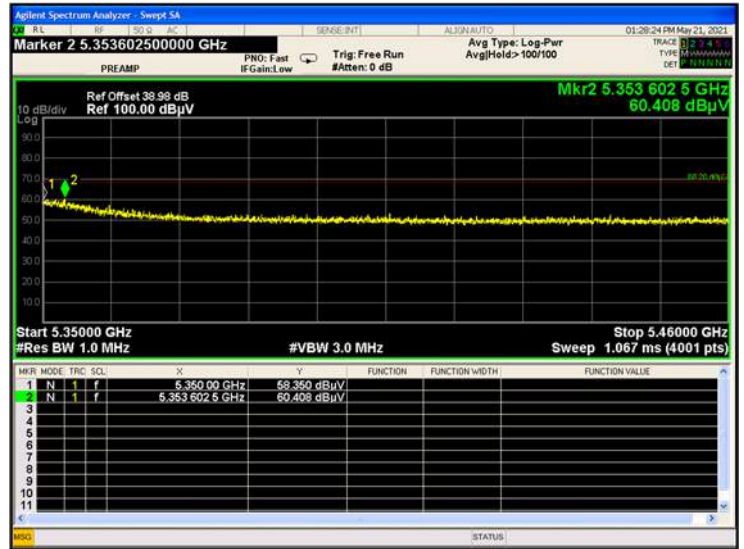
U-NII-1 11ac80 CH42 AV



U-NII-2A 11n20 CH52 Peak



U-NII-2A 11n20 CH64 Peak



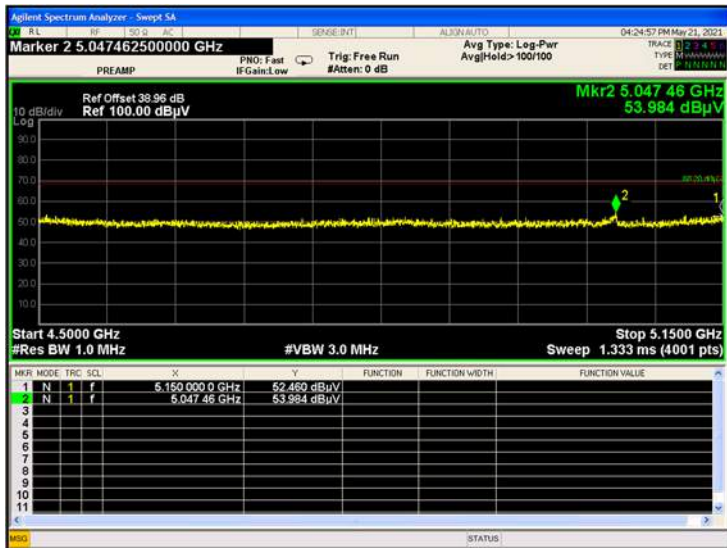
U-NII-2A 11n20 CH64 AV



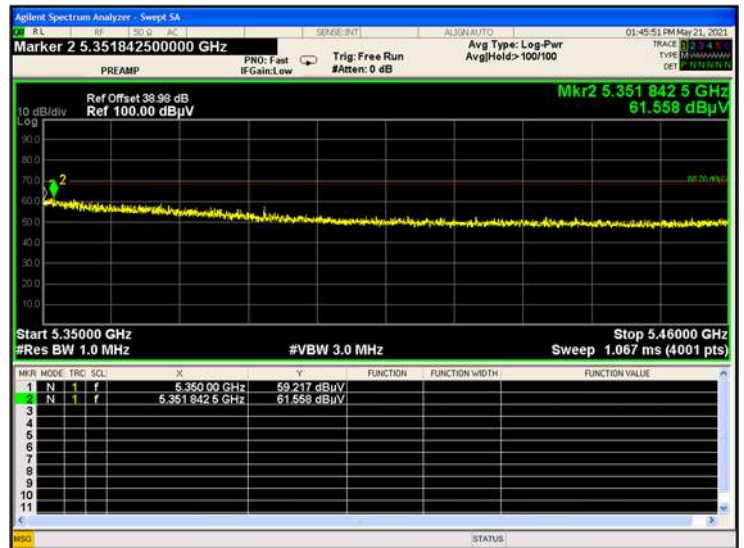
U-NII-2A 11n20 CH64 AV



U-NII-2A 11n40 CH54 Peak



U-NII-2A 11n40 CH62 Peak



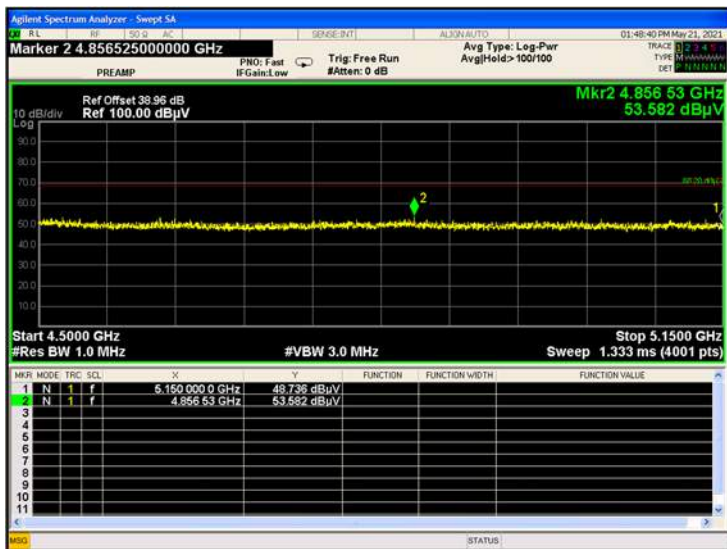
U-NII-2A 11n40 CH62 AV



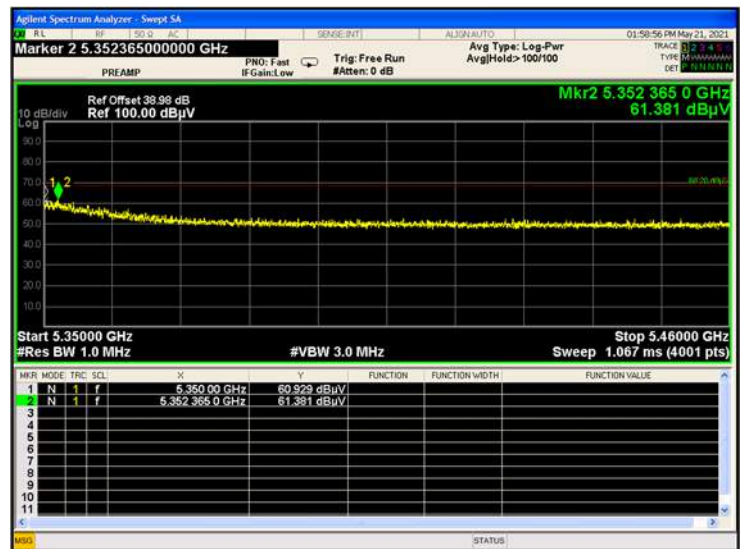
U-NII-2A 11n40 CH62 AV



U-NII-2A 11ac20 CH52 Peak



U-NII-2A 11ac20 CH64 Peak



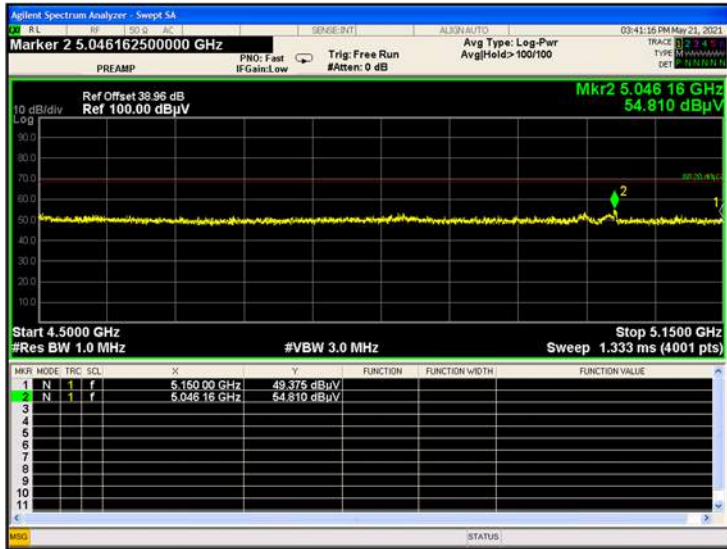
U-NII-2A 11ac20 CH64 AV



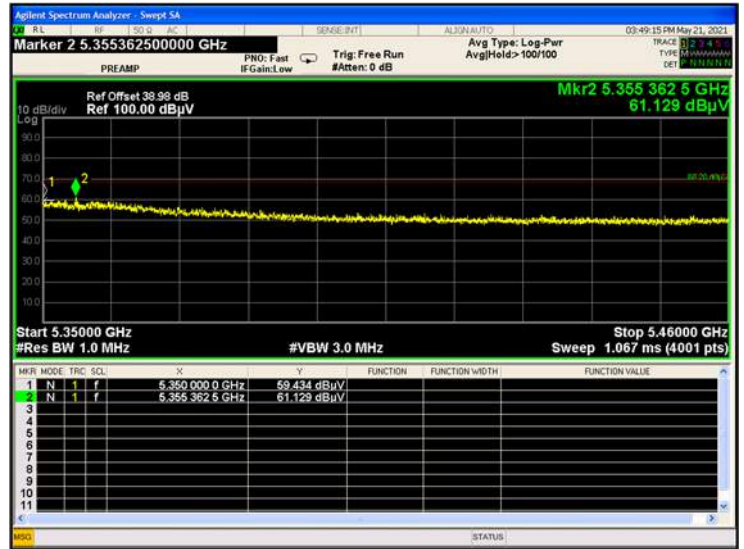
U-NII-2A 11ac20 CH64 AV



U-NII-2A 11ac40 CH54 Peak



U-NII-2A 11ac40 CH62 Peak



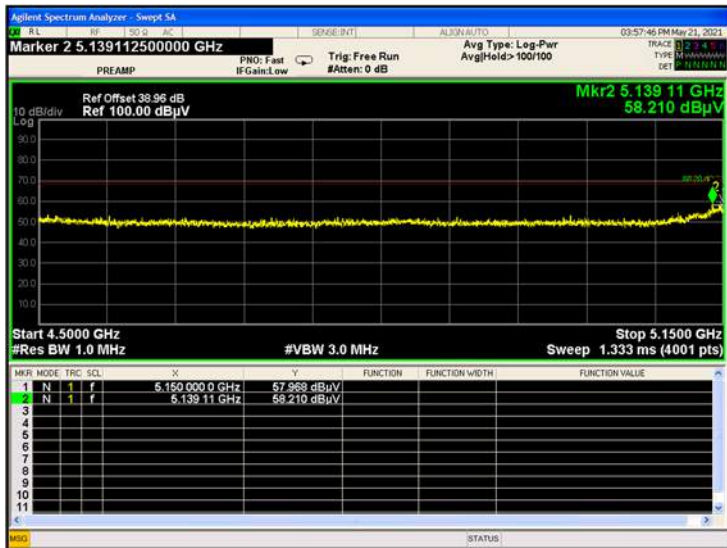
U-NII-2A 11ac40 CH62 AV



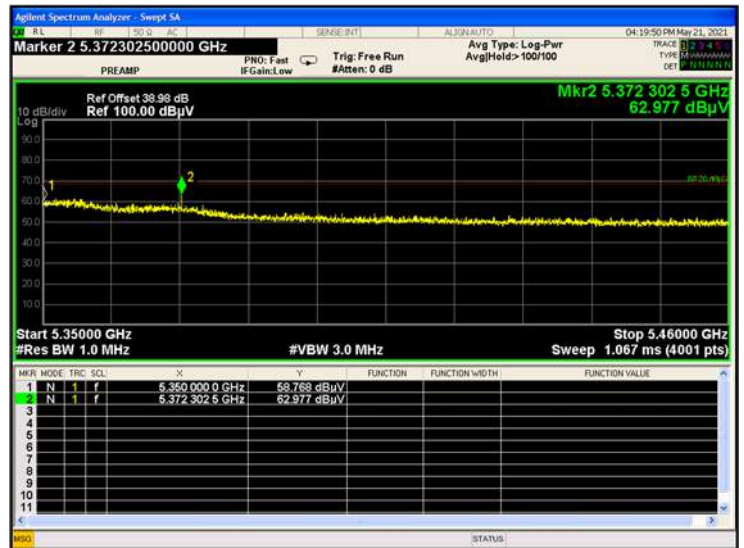
U-NII-2A 11ac40 CH62 AV



U-NII-2A 11ac80 CH58 Peak



U-NII-2A 11ac80 CH58 Peak



U-NII-2A 11ac80 CH58 AV



U-NII-2A 11ac80 CH58 AV



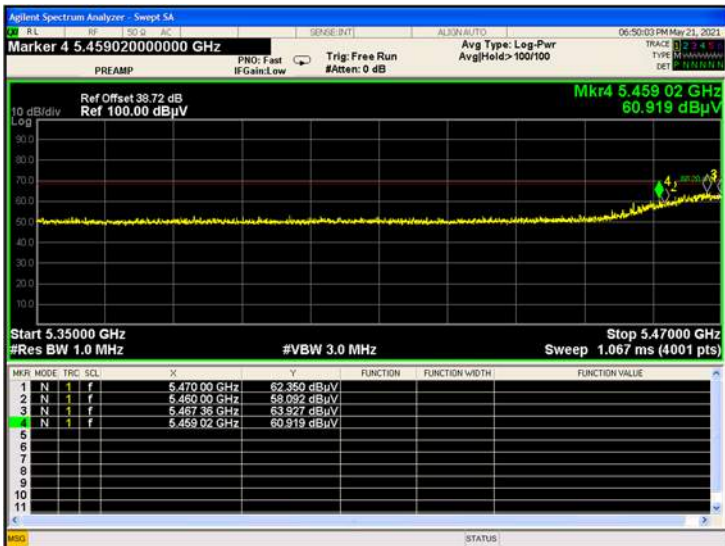
U-NII-2A 11ac80 CH58 AV



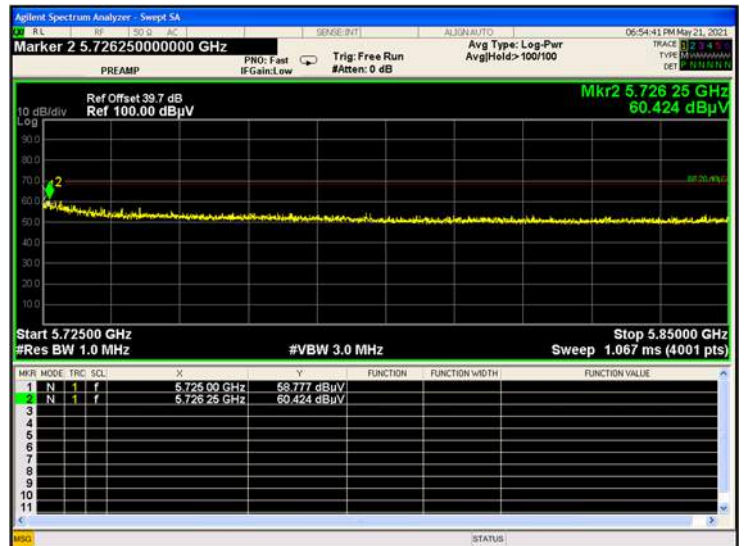
U-NII-2A 11ac80 CH58 AV



U-NII-2C 11n20 CH100 Peak



U-NII-2C 11n20 CH140 Peak



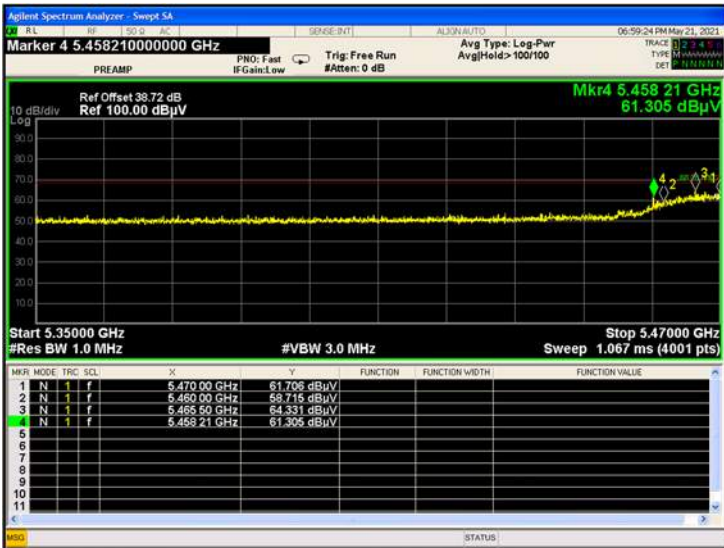
U-NII-2C 11n20 CH100 AV



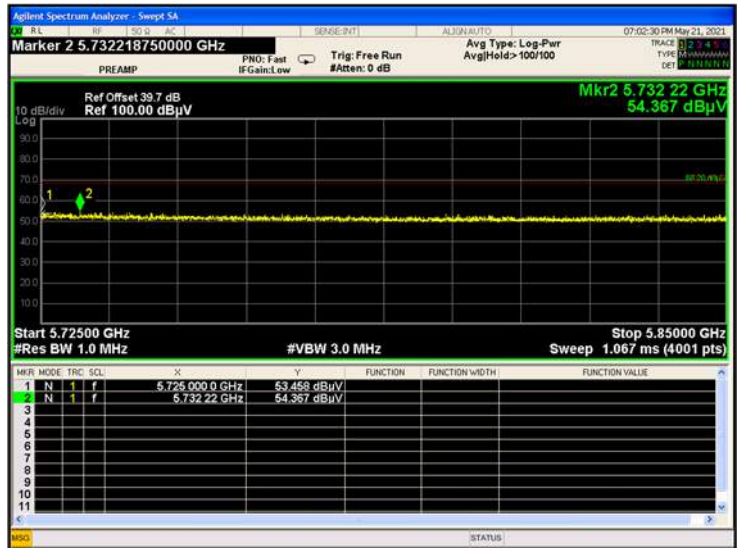
U-NII-2C 11n20 CH100 AV



U-NII-2C 11n40 CH102 Peak



U-NII-2C 11n40 CH134 Peak



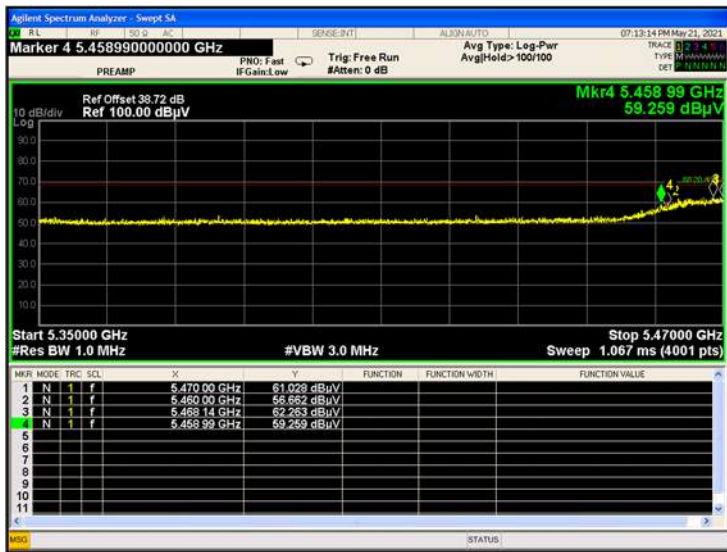
U-NII-2C 11n40 CH102 AV



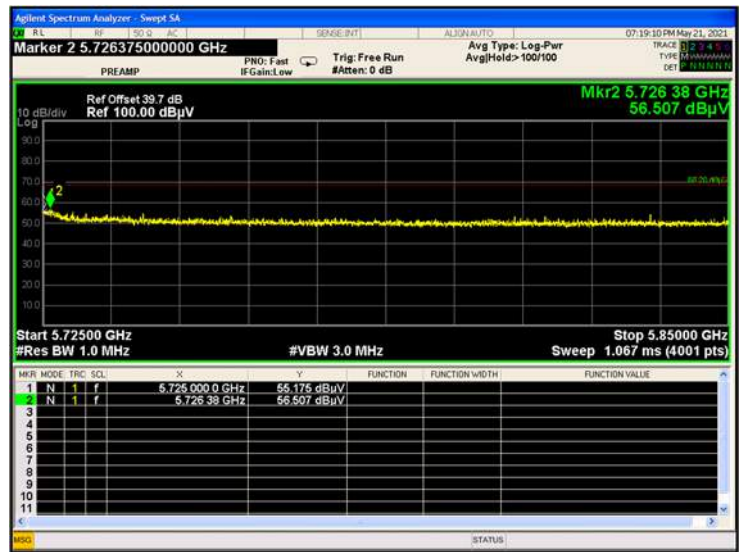
U-NII-2C 11n40 CH102 AV



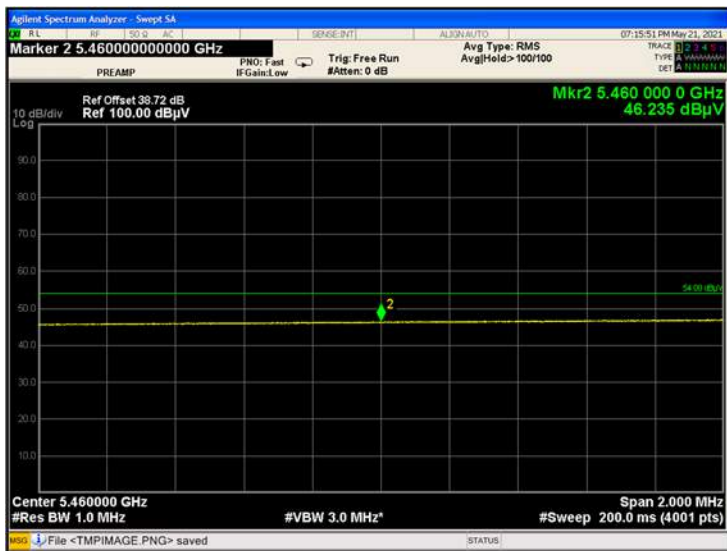
U-NII-2C 11ac20 CH100 Peak



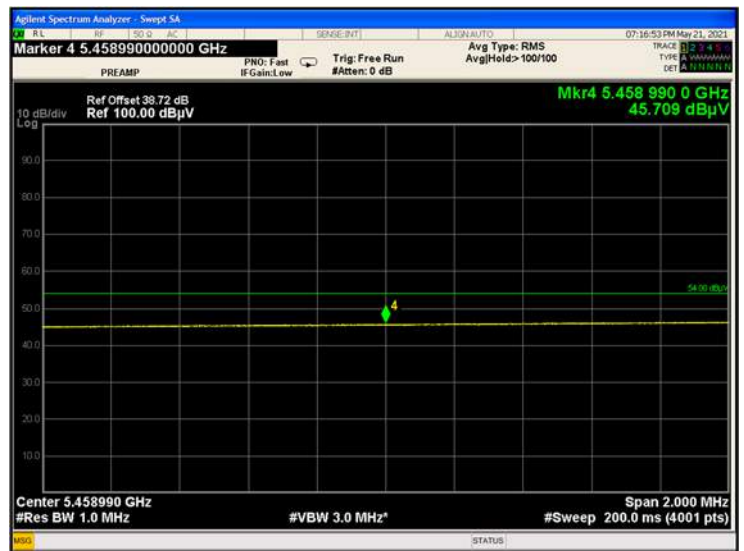
U-NII-2C 11ac20 CH140 Peak



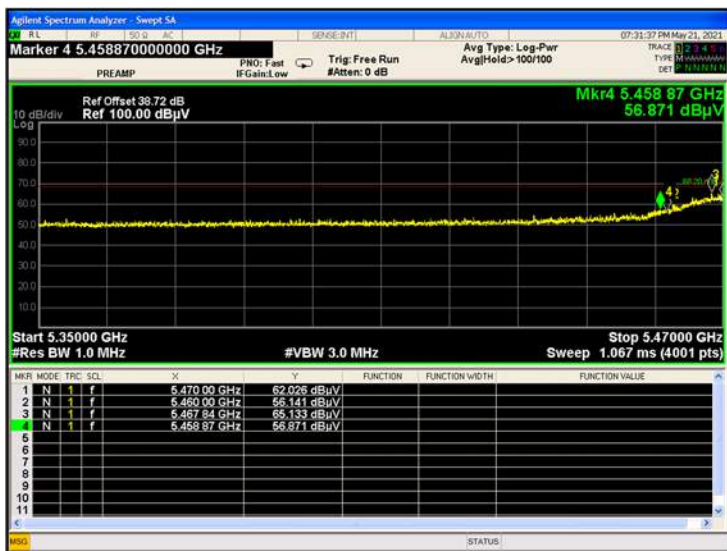
U-NII-2C 11ac20 CH100 AV



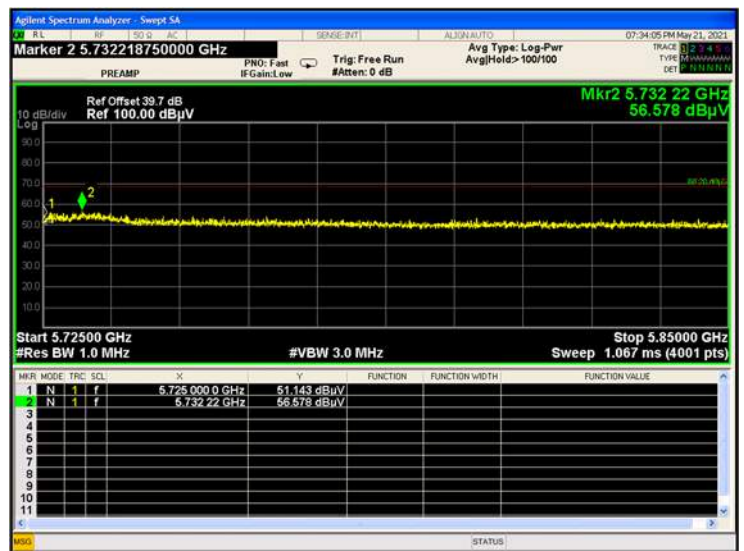
U-NII-2C 11ac20 CH100 AV



U-NII-2C 11ac40 CH102 Peak



U-NII-2C 11ac40 CH134 Peak



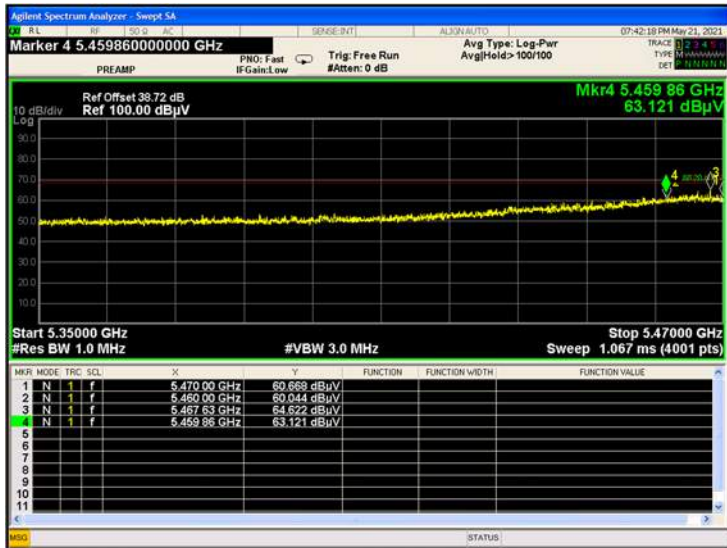
U-NII-2C 11ac40 CH102 AV



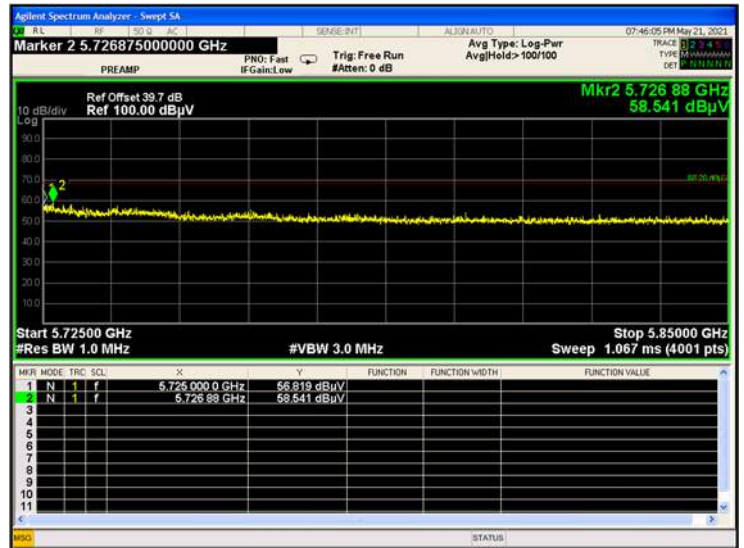
U-NII-2C 11ac40 CH102 AV



U-NII-2C 11ac80 CH106 Peak



U-NII-2C 11ac80 CH122 Peak



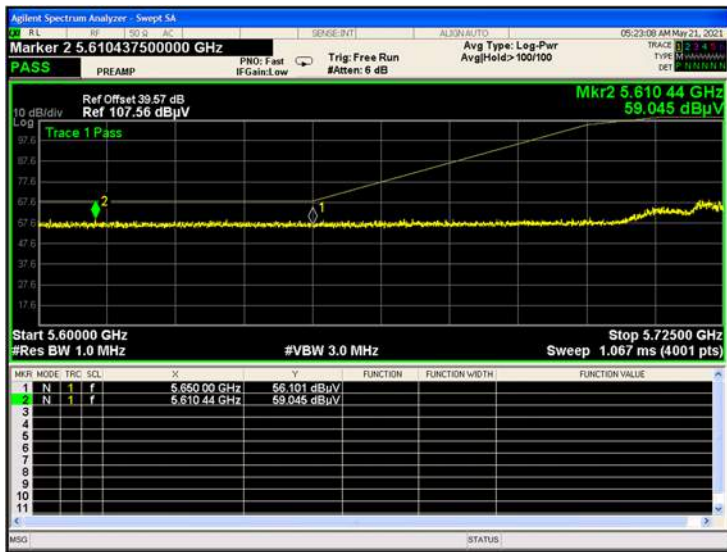
U-NII-2C 11ac80 CH106 AV



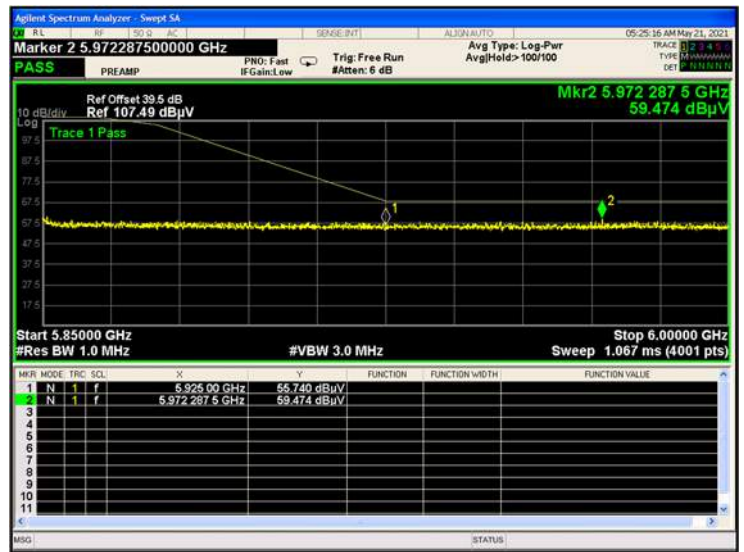
U-NII-2C 11ac80 CH106 AV



U-NII-3 11n20 CH149 Peak



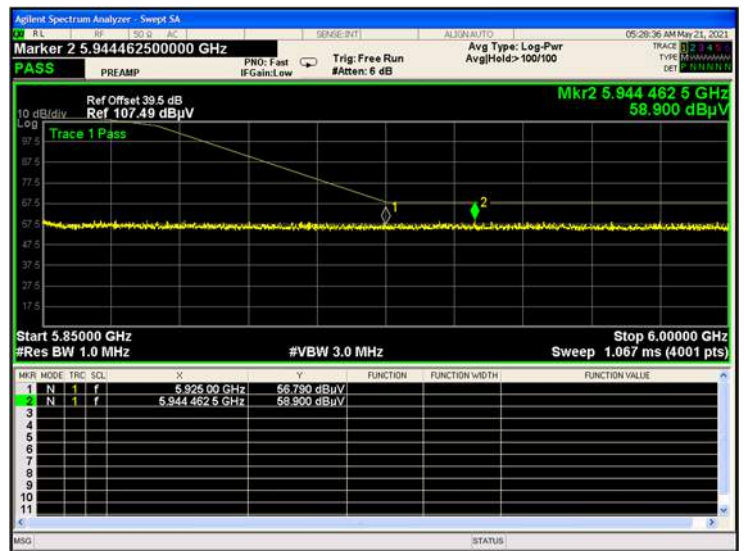
U-NII-3 11n20 CH165 Peak



U-NII-3 11n40 CH151 Peak



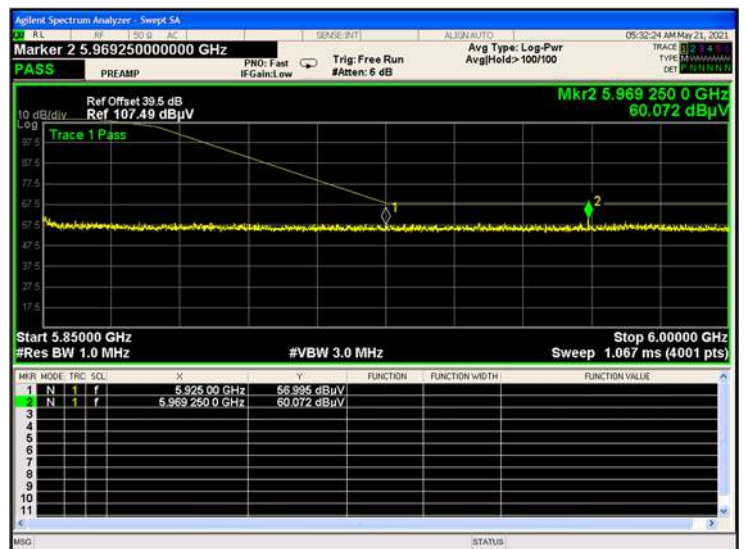
U-NII-3 11n40 CH159 Peak



U-NII-3 11ac20 CH149 Peak



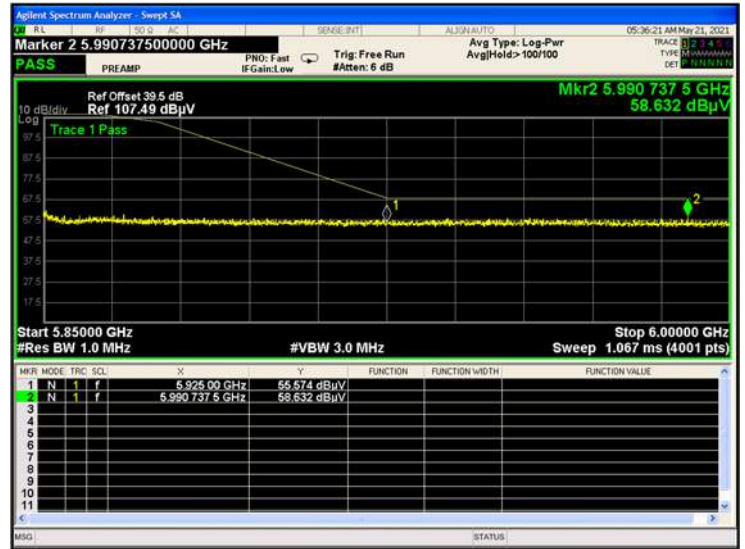
U-NII-3 11ac20 CH165 Peak



U-NII-3 11ac40 CH151 Peak



U-NII-3 11ac40 CH159 Peak



U-NII-3 11ac80 CH155 Peak



U-NII-3 11ac80 CH155 Peak



ANNEX B TEST SETUP PHOTOS

Please refer the document "BL-SZ2150149-AR.PDF".

ANNEX C EUT EXTERNAL PHOTOS

Please refer the document "BL-SZ2150149-AW.PDF".

ANNEX D EUT INTERNAL PHOTOS

Please refer the document "BL-SZ2150149-AI.PDF".

--END OF REPORT--